

Л. А. РУДНИЦКИЙ, М. Г. БЕРЕНГАРТЕН

К ВОПРОСУ ОБ ЭЛЕКТРОННОМ МЕХАНИЗМЕ ПРОМОТИРОВАНИЯ  
ЩЕЛОЧЬЮ В КАТАЛИТИЧЕСКОМ СИНТЕЗЕ АММИАКА

(Представлено академиком А. Н. Фрумкиным 18 V 1971)

Введение щелочи в железосодержащий катализатор синтеза аммиака приводит к увеличению его удельной каталитической активности (удельной скорости синтеза) и наряду с этим вызывает снижение работы выхода электрона. Этот факт является экспериментальным обоснованием одного из предложенных механизмов промотирования щелочью в катализическом синтезе аммиака, обычно называемого «электронным»<sup>(1)</sup>. Однако какое-либо детальное рассмотрение явления в литературе отсутствует. В настоящей работе (в рамках «электронного» механизма промотирования) дано конкретное рассмотрение взаимоотношения между удельной каталитической активностью и работой выхода электрона катализатора. На основе сравнительно простых моделей взаимного влияния адсорбированных частиц, а также того факта, что адсорбция азота является лимитирующей стадией процесса синтеза<sup>(2)</sup>, получены уравнения, сопоставимые с экспериментальными данными.

Рассмотрим взаимодействие между активированным комплексом адсорбции азота и частицами щелочного промотора на поверхности железа. Представим активные частицы щелочного промотора в виде положительных ионов образующих плоскую решетку на поверхности железа. Поскольку каждый ион образует со своим зеркальным изображением диполь, ось которого нормальна к поверхности металла и положительный конец направлен наружу, поверхность металла покрыта двумерной решеткой диполей  $\mu$ . Вторым важным следствием пребывания ионов на поверхности металла является возрастание поверхностной концентрации электронов и соответственное увеличение их максимальной кинетической энергии.

С другой стороны, предполагаем, что активированный комплекс адсорбции азота получает от металла некоторый отрицательный заряд  $e\eta^{\neq}$  ( $e$  — заряд электрона,  $\eta^{\neq}$  — степень переноса заряда). Дипольный момент соответственно равен  $e\eta^{\neq}a^{\neq}$  ( $a^{\neq}$  — плечо переноса заряда на активированный комплекс). Положительный промотирующий эффект (снижение энергии активированного комплекса) достигается как за счет взаимодействия диполей промотора  $\mu$  с диполем  $\mu^{\neq}$  обратного знака, так и за счет повышения уровня энергии с которого осуществляется перенос заряда к активированному комплексу. Рассмотрим оба эффекта раздельно.

I. Описывая диполь-дипольное взаимодействие при разных степенях покрытия поверхности  $\theta$  Робертс<sup>(3)</sup> рассматривал «неподвижные» и «подвижные» адсорбционные слои прямоугольной решетки. В первом случае при снижении покрытия параметр решетки диполей не изменяется, но появляются пустые узлы, концентрация которых равна  $1 - \theta$ . Во втором случае все узлы заняты, но параметр решетки  $l$  увеличивается:  $l = (\theta N_m)^{-\frac{1}{2}}$ , где  $N_m$  — число диполей, отвечающее монослойному покрытию.

Если на поверхности железа адсорбирован слой «подвижных» диполей, активированный комплекс адсорбции азота может располагаться только в межузельном пространстве. Определим  $\Delta E$  — энергию взаимодействия диполей решетки  $\mu$  с диполем обратного знака  $\mu^{\neq}$ , расположенным в

центре квадрата прямоугольной решетки. В первом приближении и без учета поляризационных эффектов

$$\Delta E = -\mu^\neq \mu \sum \frac{1}{x^3}, \quad (1)$$

где  $x$  — расстояние между активированным комплексом и диполем решетки. Суммируя (для более отдаленных соседей интегрируя) вклад всех диполей можно найти

$$\Delta E = -16,7 \mu^\neq \mu / l^3 = 16,7 \mu \mu^\neq (\theta N_m)^{3/2}. \quad (2)$$

Полученный таким образом коэффициент 16,7 несколько завышен. Более точный расчет (без учета поляризационных эффектов) может быть произведен по уравнению:

$$\Delta E = \frac{\mu^\neq \mu}{a a^\neq} \sum \left( \frac{1}{x} + \frac{1}{[x^2 + (a^\neq - a)^2]^{1/2}} - \frac{1}{[x^2 + a^2]^{1/2}} - \frac{1}{[x^2 + (a^\neq + a)^2]^{1/2}} \right), \quad (3)$$

здесь  $a$  — плечо переноса заряда в диполе  $\mu$ . При  $a = 1/2l$ ,  $a^\neq = 3/l$  ( $1,33 \text{ \AA}$  — радиус  $K^+$ ,  $2 \text{ \AA}$  — радиус  $N_2$ ) соответствующий коэффициент составляет 11,6. При  $a = 1/4l$ ,  $a^\neq = 0,375l$  он равен 12,7. Для оценочного расчета можно принять:

$$\Delta E = -13 \mu^\neq \mu / l^3 = -13 \mu^\neq \mu (\theta N_m)^{3/2}. \quad (4)$$

Введение в решетку диполей  $\mu$  момента противоположного знака  $\mu^\neq$  вызывает образование наведенного момента  $Fa^\neq$  и наведенных моментов (сумма которых  $Fa\mu^\neq / \mu$ ) в соседях. Здесь  $F = 13\mu(\theta N_m)^{3/2}$  — напряженность электрического поля в центре квадрата,  $a^\neq$  и  $a$  — соответствующие поляризуемости. Наведение моментов вызывает дополнительное снижение энергии на величину  $F^2 a^\neq / 2$  и увеличение ее на  $FaF' \mu^\neq / \mu$ , где  $F'$  — поле, в котором находится каждый ион щелочи. Кроме того, имеет место некоторое повышение энергии в результате взаимодействия зарядов первоначальных диполей с зарядами наведенных в них. Это взаимодействие можно формально представить линейным членом  $2\mu^\neq F \times \times (a^\neq / (a^\neq)^3 + a / a^3)$ . Пренебрегаем всеми поляризационными поправками \*. Сочетая уравнение (4) с уравнением  $\Delta\varphi = 4\pi 300 \mu \theta N_m$ , получаем

$$\Delta E = -\frac{13}{4\pi 300} \mu^\neq (\theta N_m)^{3/2}. \quad (5)$$

Из этого уравнения нужно исключить  $\theta$ , которая не может быть определена из опыта. Воспользуемся для этого уравнением деполяризации Робертса <sup>(3)</sup>:

$$\Delta\varphi = \mu_0 4\pi 300 \theta N_m / [1 + 9\alpha(\theta N_m)^{3/2}]. \quad (6)$$

Здесь  $\mu_0$  — момент щелочного промотора при  $\theta \rightarrow 0$ . Сочетая это уравнение с (5), находим:

$$\Delta E = -\frac{13}{9} \frac{\mu_0 \mu^\neq}{\alpha} + \frac{(\Delta\varphi)^3}{(\Delta E)^2} \frac{(13)^3 (\mu^\neq)^3}{9\alpha (4\pi 300)^3}. \quad (7)$$

В это уравнение входят определяемые из эксперимента переменные  $\Delta\varphi$  и  $\Delta E$  и постоянные  $\mu_0$ ,  $\mu^\neq$  и  $\alpha$ .

Для сопоставления используем опытные данные по  $\Delta\varphi$  и  $K_{уд}$ , полученные для дважды промотированных железных плавленых катализаторов с 3 вес.%  $Al_2O_3$  и различной концентрацией  $K_2O$  <sup>(4)</sup>;  $\varphi$  — работа выхода электрона, найденная методом термоэлектронной эмиссии.  $K_{уд}$  — удельная каталитическая активность катализаторов при  $400^\circ$  и 300 атм. В табл. 1 приведены значения  $\Delta\varphi = 4,5 - \varphi$ , где 4,5 эв — работа выхода электрона а-железа <sup>(5)</sup> и  $\Delta \lg K_{уд} = \lg K_{уд} - 1$ , где  $(1 - \lg 10)$  — логарифм удельной каталитической активности катализатора без добавки щелочи.

\* Более точное уравнение:

$\Delta E = -\mu^\neq F [1 - 2(a^\neq / (a^\neq)^3 + a / a^3)] - F^2 a^\neq / 2 + FF' a \mu^\neq / \mu$ .

Поскольку энергия активации каталитического синтеза аммиака весьма значительна, ее сравнительно небольшие вариации в результате промотирования не могут быть определены по температурной зависимости  $K_{уд}$ . Поэтому будем сравнивать удельные скорости синтеза при одной температуре.

Таблица 1

Катализатор	Концентрация, $K_2O$ , вес. %	$\Delta\varphi$ , в	$\Delta \lg K_{уд} (400^\circ C \text{ и } 300 \text{ атм})$
1	0,25	0,87	0,28
2	0,5	1,30	0,55
3	1,0	1,75	1,03
4	2,0	1,93	1,43

Примем, что изменение удельной каталитической скорости реакции при введении окиси калия вызвано исключительно снижением энергии активации. Другими словами, что

$$\Delta \lg K_{уд} = -\frac{\Delta E \cdot 2,3}{RT \cdot 2,3} = -\Delta E / 0,134 \quad (8)$$

(все данные отнесены к  $400^\circ C$ ). С учетом уравнения (8) и соответствующих числовых множителей:

$$\Delta \lg K_{уд} = \frac{\mu^{\neq} \mu_0}{\alpha} \frac{13 \cdot 6,03 \cdot 10^{23} \cdot 1,6 \cdot 10^{-12}}{9 \cdot 0,134} - \frac{(\mu^{\neq})^3 (\Delta\varphi)^3}{9\alpha (\Delta \lg K_{уд})^2} \left( \frac{6,03 \cdot 10^{23} \cdot 1,6 \cdot 10^{-12} \cdot 13}{4\pi \cdot 300 \cdot 0,134} \right)^3. \quad (9)$$

Как видно из рис. 1, 1, уравнение (9) удовлетворительно описывает зависимость  $\Delta \lg K_{уд}$  —  $\Delta\varphi$ . Отрезок, отсекаемый от оси ординат 2,26. Тангенс угла наклона прямой — 0,23. Имеем

$$\mu_0 \mu^{\neq} / \alpha = 2,17 \cdot 10^{-13}, \quad (\mu^{\neq})^3 / \alpha = 1,35 \cdot 10^{-31}. \quad (10)$$

Заимствуем из работы Хигачи, Ри и Эйринга (6) значение  $17 \cdot 10^{-24} \text{ см}^3$  поляризуемости для К на W. При этом  $\mu^{\neq} = 1,32D$ . Если принять расстояние между центром тяжести отрицательного заряда и его зеркальным

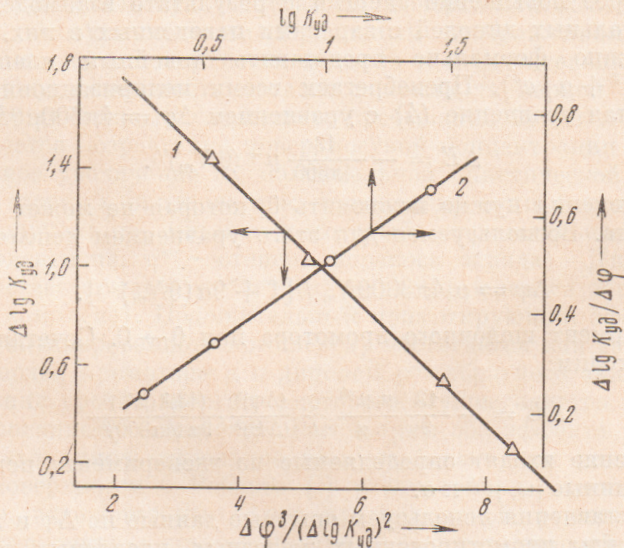


Рис. 1

изображением  $a^{\neq}$  равным удвоенному радиусу молекулы азота  $4 \text{ \AA}$ , то полному переносу заряда соответствует дипольный момент  $19,2D$ . Таким образом,  $\eta^{\neq}$  — степень переноса заряда составляет 0,07 (по-видимому, нижний предел). Приняв  $a^{\neq}$  равным радиусу молекулы азота  $2 \text{ \AA}$ , получим верхний предел 0,14.

II. Для оценки «неэлектростатического» эффекта взаимного влияния адсорбированных частиц воспользуемся моделью поверхностного элект-

речного газа, предложенной М. И. Темкиным (7, 8). При покрытии поверхности ионами щелочи  $\theta$  в поверхностный электронный газ переходит  $\Theta N_m$  электронов. При этом максимальное значение кинетической энергии электронов поверхностного электронного газа увеличивается на  $\frac{h^2}{4\pi m^*} \Theta N_m$  ( $h$  — постоянная Планка,  $m^*$  — приведенная масса электрона). Соответственно энергия активированного комплекса адсорбции молекулы азота уменьшается на  $\eta^{\neq} \frac{h^2}{4\pi m^*} \Theta N_m$  и

$$\Delta E = -\eta^{\neq} \frac{h^2}{4\pi m^*} \Theta N_m. \quad (11)$$

Сопоставляя это уравнение с уравнением деполяризации (2) для неподвижного слоя

$$\Delta\varphi = \mu_0 4\pi 300 / (1 + 9\alpha \Theta (N_m)^{3/2}), \quad (12)$$

учитывая (8) и числовые множители, получаем:

$$\frac{\Delta \lg K_{уд}}{\Delta\varphi} = \frac{h^2 \eta^{\neq}}{4\pi m^*} \frac{1}{4\pi \mu_0 300 \cdot 0,134} + \Delta \lg K_{уд} \frac{9\alpha}{4\pi 300 \mu_0} N_m^{1/2}. \quad (13)$$

Рис. 1, 2 показывает, что экспериментальные данные хорошо описываются и этим уравнением \*. Отрезок, отсекаемый прямой от оси ординат 0,22 тангенс угла наклона прямой 0,37. Примем  $m^* = 1$  и  $N_m = 10^{15}$  см<sup>-2</sup>. Тогда:

$$\eta^{\neq} / \mu_0 = 4,54 \cdot 10^{16} \quad \alpha / \mu_0 = 4,95 \cdot 10^{-6}. \quad (14)$$

Для  $a = 17 \cdot 10^{-24}$  см<sup>3</sup> имеем  $\eta^{\neq} = 0,16$ . Косвенным критерием правильности выбранных констант и уравнений является расчетное значение  $\mu_0$ . Оно правильно по порядку величины, но явно занижено (по уравнению (10)  $2,8D$  по (14)  $3,5D$ ). Значения  $\mu_0$  можно существенно улучшить, используя данные Гомера (9) по влиянию  $K$  на  $\varphi$  грани 111 W (для этой грани  $\varphi$  равна  $\varphi$  а-железа) при этом применив уравнение, использованное в (9):  $\Delta\varphi = 2\pi \mu_0 \Theta N_m$ . Можно показать, что данные (9) для грани 111 хорошо описываются уравнением  $\mu = \mu_0 / (1 + 9\alpha (\Theta N_m)^{3/2})$  и дают значение  $\alpha = 28 \cdot 10^{-24}$  см<sup>3</sup>. Изменив коэффициент  $4\pi$  на  $2\pi$  и используя  $a = 28 \cdot 10^{-24}$  см<sup>3</sup>, находим: диполь-дипольное взаимодействие  $\mu_0 = 7,8D$ ,  $\eta^{\neq} = 0,78D$ ,  $\eta^{\neq} = 0,08(0,04)$ ; поверхностный электронный газ  $\mu_0 = 11,6D$ ,  $\eta^{\neq} = 0,20$ . Совпадение с экспериментальным значением  $\mu_0 = 10D$  (9) хорнее. Учитывая наложение обоих эффектов, можно считать, что степень переноса заряда на активированный комплекс составляет не более 10–15 %.

Государственный научно-исследовательский  
и проектный институт азотной промышленности  
и продуктов органического синтеза  
Москва

Поступило  
10 V 1971

#### ЦИТИРОВАННАЯ ЛИТЕРАТУРА

- <sup>1</sup> Э. Х. Еникеев, А. В. Крылова и др., ДАН, **131**, 1126 (1960); А. В. Крылова, Л. Д. Кузнецов, И. Н. Конюхова, Кинетика и катализ, **5**, 948 (1964).
- <sup>2</sup> I. K. Roberts, Some Problems in Adsorption, Cambridge, 1939.
- <sup>3</sup> М. И. Темкин, В. М. Пыжев, ЖФХ, **13**, 851 (1939).
- <sup>4</sup> М. И. Иванов, Кандидатская диссертация, М., 1968.
- <sup>5</sup> J. Siljeholm, Ann. Phys., **10**, 178 (1931).
- <sup>6</sup> J. Niguchi, T. Ree, H. Eyring, J. Am. Chem. Soc., **77**, 4969 (1955).
- <sup>7</sup> М. И. Темкин, Сборник. Вопросы химической кинетики, катализа и реакционной способности, Изд. АН СССР, 1955, стр. 484.
- <sup>8</sup> Л. И. Шаховская, Л. А. Рудницкий, Н. В. Кулькова, М. И. Темкин, Кинетика и катализ, **11**, 468 (1970).
- <sup>9</sup> R. Gomer, Disc. Farad. Sci., № 41, 14 (1966).

\* В данной работе приведены только те уравнения, которые могут описать экспериментальную зависимость  $\Delta\varphi - \lg K_{уд}$ .